

浮体式灯標の波浪中動揺

運輸省港湾技術研究所 海洋水理部

合田良実
金木康正
築賀義人
長尾一彦

海上保安庁灯台部 工務課

海上保安庁研究センター

1. 概要

海洋構造物には種々のものがあるが、早くから海上に建設されてきたものの一つに航路標識がある。これには、灯台に代表されるよう固定式と、パイなどのように後に係留された浮遊式の二種類のものがある。現在までのところ主体である。固定式の灯標は、常にある一定度にあり、しかも変位を起す事がないことから、航路標識としては最も理想的な構造様式である。しかし、建設費が高いため、水深の深い地域には設置しにくくなど、問題点があることは事実である。一方、パイなどの浮遊式のものは、灯台における問題点を補うことができるものの、波などの外力により復斜角が過大となる場合があること、振れまわり運動のために航路標を実質的に使わせてしまうなどの欠点を持つ。そこで、これをの中間的な構造形式として、灯台の下部を切断し、ユニバーサルジョイントで海底のアンカーに接続するような方式が考案される。海上保安庁灯台部では、これを「浮体式灯標」と呼びている。

浮体式灯標は、外力を受けたときにある程度の変位を許す代わりに受けた力をなるべく小さくし、また変位に対応して、浮体式の標柱本体のまづまづによる復元力によって直立姿勢を保つとするものである。構造的には、図-1に示したようなものをはじめとしてさまざまな形式が考案される。海上保安庁灯台部は波浪中ににおける浮体式灯標の挙動について検討するため、1974年度に運輸省港湾技術研究所の協力の下、図-1の模型を用いた水理模型実験を行なった。その結果、実用性および施工性を考慮すると、単純な形状の円筒形が適当であることがわかった。

これを基に、1977年9月から1ヶ月の予定期間で神奈川県の鳥ヶ崎にあり、直立式円筒形の浮体式灯標を用いた現地実験を行なわれており、近い将来実用化される予定である。本文は、鳥ヶ崎にかけた現地実験および実用化水路上における水理模型実験を基に、円筒形の浮体式灯標の波浪中の動揺を、実験的および理論的に検討したものである。

2. 実験方法

現地実験用の試験床が設置された鳥ヶ崎の地形図を示すと図-2のようになる。灯標の高さが図-1に示すものであるが、海面から4mの高さにおいて水压式波高計による水面波形の測定が行なわれている。また2方向の傾斜計が内蔵されており、そのうちの一方向はN-S、他方はW-Eである。これらの水圧記録および2方向の復斜角の記録は、自動平衡型ペン書きオシログラフ上にアナログデータとして書き出されている。鳥ヶ崎現地実験床は海上保安庁灯台部によって製作・設置され、海上保安庁研究センターの管理の下にデータの取得が行われた。

これに対し、水理模型実験用の模型が試験研究センターにおいて作製され、それも用いた実験を港湾技術研究

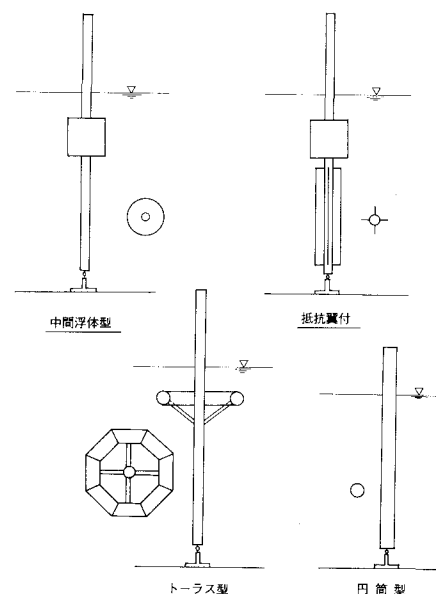


図-1 浮体式灯標

新波浪研究室が行なった。この模型は表-1に示したとおり、鳥ヶ崎実験場の1/5.988模型である。実験においては灯標模型の直角(ヒンジがこの高さ109.9cm)に空電球を取り付け、灯標が規則波あるいは不規則波中に動搖したときの空電球の水平変位をX-Yアライザーと呼ばれる装置によつて検出した。同時に、灯標より約2.2m離れた水路中央において、容量式波高計によつて水位変動を測定した。なお、実験に用いた不規則波は、光易の修正によるBretschneider型スペクトルとほぼ等しい周波数スペクトルを持つ波である。また、不規則波中の実験では横揺れを防止するため、灯標の両側に1cmずつ離して2本のガードを水路軸方向に設けた。

3. 規則波中の応答特性

3.1 動運動方程式とその解法

図-3に示すような座標系とり、x軸の負方向に進む規則波中の動搖につきまず考る。規則波は次元的正波であり流体力の合力は理論的にはx軸方向にのみ作用することになるので、ここでは灯標の動搖がx軸方向すなはうに波の進行方向だけを考えることとする。

いま、灯標のヒンジまわりの慣性モーメントをI₀、度位置を①とする、灯標の回転に因する運動方程式は次のようになる。
(波かね座標軸の正方向を正、波力モーメント)は反時計まわりを正としている。)

$$(I + C'_M I_0) \ddot{\theta} + B \dot{\theta} + \int_{-d}^0 C_D \rho A (z+d) \{ U - (z+d) \dot{\theta} \} |U - (z+d)| dz \\ + C \dot{\theta} = - \int_{-d}^0 C_M \rho \pi d^2 u (z+d) dz - \int_{-d}^0 C_D \rho A (z+d) u |u| dz \quad (1)$$

ここで、I₀: 灯標の水中部分を流体と置き換えたときのヒンジまわりの慣性モーメント

B: 離形減衰モーメントの係数

C_M: 質量係数、C_D: 慣性力係数、C_D: 抗力係数

C: 静水圧的復元モーメントの係数

u: 水平水粒子速度

u: 水平水粒子速度

式(1)の各項のうち、造波抵抗モーメント[-C_MI₀ \ddot{\theta} - B \dot{\theta}']、および、右辺第一項の固定灯標に作用する慣性力によるモーメントは速度ボテンシャル理論から求められる。ただし、ここで用いてるのは灯標の下部z=-dに作用する流体力を無視した近似解法である。表-1の灯標について、ボテンシャル理論によって各流体力係数を計算した結果は、図-4のようになつた。この図からわかるように、流体力係数はいずれも入射波の周期の函数となる。しかし、C_M=2.0、C_D=1.0およびB=0と

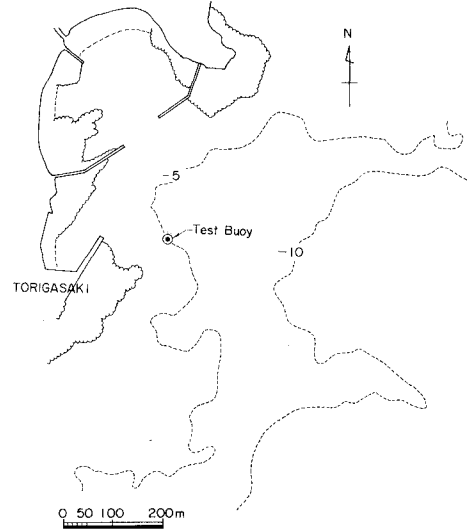


図-2 鳥ヶ崎地形図

表-1 灯標の諸元

| 区分 | 実物 | 模型 |
|-----------------------|------------------------|-----------------------|
| 水深(h) | 6.100 m | 101.9 cm |
| 全長(s) | 6.150 | 102.7 |
| 半径(a) | 0.400 | 6.68 |
| 吃水(d) | 4.545 | 85.9 |
| ヒンジ深さ(l) | 5.272 | 88.05 |
| 重心深さ(zg) | 1.622 | 27.09 |
| 全重量(W) | 0.815 t | 3.78 kg |
| 慣性モーメント(I) | 1.338 t.m ² | 17.38 cm ² |
| 復元モーメント(C) | 4.145 t.m | 322.4 kg.cm |
| 固有周期(T ₀) | 6.059 s | 2.476 s |

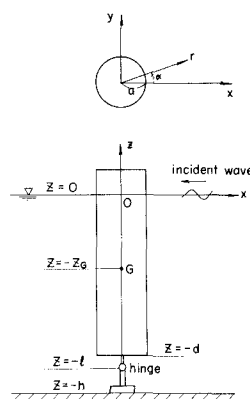


図-3 座標

おれこの周期に無関係な定数として扱われるものが多い。今回対象とした流体式灯標では、周期2秒以上の波に対するこのような近似計算法を用いる。良好的な結果が得られるものと思われる。また、固定灯標に作用する慣性力による波力モーメントの位相を計算したところ、2秒以上の波では水粒子加速度とはほとんど同位相とみなせることがわかった。

そこで、式(1)の左端の項より右端の項はともに非線形項であり、それより非線形減衰モーメントおよび固定灯標に作用する抵抗力による波力モーメントを表している。ここで、抵抗力係数 C_D は灯標の全長にわたる、この平均的な値を考慮するものとして後方諸号の外側に出す。また、非線形減衰モーメントが荷重となるのは共振周期附近であり、しかも共振周期附近では灯標の運動速度が水粒子速度に比べて大きいため、水粒子速度が非線形減衰モーメントに寄与する部分は相対的に小さいものと考えられる(水理模型実験における確認したところ、 $U_{max} = 5.6 \text{ cm/sec}$ である)。そこで、非線形減衰モーメントの計算における $U = 0$ として計算を行なうものとし、式(1)の式に関する各積分を行なって整理すると次のようになる。

$$(I + C_M I_0) \ddot{\theta} + B \dot{\theta} + D \theta | \ddot{\theta} | + C \dot{\theta} = \bar{M}_{FM} \cos(\omega t - \varphi_{FM}) + \bar{M}'_{FD} \cos \omega t / |\cos \omega t| \quad (2)$$

ここで、 θ は入射波の周波数、 \bar{M}_{FM} は慣性力によるモーメントの振幅、 φ_{FM} はその水位変動に対する位相差、 \bar{M}'_{FD} は抵抗力によるモーメントの振幅、また $D = C_D S A \int_{-\infty}^{\infty} (\dot{\theta}^2 - \dot{\theta}^2) d\theta / 4$ である。

この解法として、まず非線形力 $A' \propto |\dot{\theta}|$ と、線形力 $A \propto \dot{\theta}$ により近似的に置き換えることを考える。その際、等価振幅 A は非線形力および線形力が $1/4$ サイクル当たりに行なう仕事量が等しいという仮定のもとに求められる²⁾。これを用いて式(2)の非線形項を線形化し、動揺振幅 θ および水位変動に対する位相差 φ を求めるところとなる。

$$\ddot{\theta} = 2 \bar{M}_F^2 / \left[\left\{ -(I + C_M I_0) \dot{\theta}^2 + C \right\}^2 + \sqrt{ \left\{ -(I + C_M I_0) \dot{\theta}^2 + C \right\}^4 + 4 \left(\frac{8}{\pi} D \dot{\theta}^2 \right)^2 \bar{M}_F^2 } \right] \quad (3)$$

$$\tan \varphi_F = \frac{(\bar{M}_{FM} \cos \varphi_{FM} + \bar{M}'_{FD}) \frac{8}{\pi} D \dot{\theta}^2 \ddot{\theta} + \bar{M}_{FM} \sin \varphi_{FM} \left\{ -(I + C_M I_0) \dot{\theta}^2 + C \right\}}{(\bar{M}_{FM} \cos \varphi_{FM} + \bar{M}'_{FD}) \left\{ -(I + C_M I_0) \dot{\theta}^2 + C \right\} - \bar{M}_{FM} \sin \varphi_{FM} \cdot \frac{8}{\pi} D \dot{\theta}^2 \ddot{\theta}} \quad (4)$$

$I = I_0$,

$$\bar{M}'_{FD} = \frac{8}{\pi} \bar{M}_F' \quad , \quad \bar{M}_F^2 = (\bar{M}_{FM} \cos \varphi_{FM} + \bar{M}'_{FD})^2 + (\bar{M}_{FM} \sin \varphi_{FM})^2$$

より一般的な解法としては、式(2)を時刻ステップごとに数値積分していく解法がある。その手法にはエマーキー法などが考査されており、ラング・ラッタ・キル法が標準的である。ただし、この方法を適用するときの一つの問題点は C_M 、 B などの他の流体力係数が一般に運動周波数の函数であるため、常に過度動搖あるいは不規則波応答に対するどのような値をとるべきか決定が困難である。しかし今回の流体式灯標の場合だけ、図-4に示したように流体力係数がほぼ一定値をとる領域が対象であるため、ここでは $C_M = 2.0$ 、 $C_M' = 1.0$ 、 $B = 0$ とし、また $\varphi_{FM} = -\pi/2$ として計算を行なうとした。さらに、実験における共振周期附近的レインフロース数は 7.42×10^3 であったので、抵抗力係数 $C_D = 1.0$ とした。数値計算結果について後述する。

3.2 規則波中の周波数応答特性

規則波中ににおける周波数応答特性の実験および計算結果を示すと図-5のようになる。計算値は式(3)の解析解による値である。図中の実線($C_D = 0$)が非線形力を考慮しないときの値、一実線、実線および破線が C_D の値をそれぞれ 0.5, 1.0, 1.5 としたときの結果である。一方、実験における波の進行方向ばかりでは

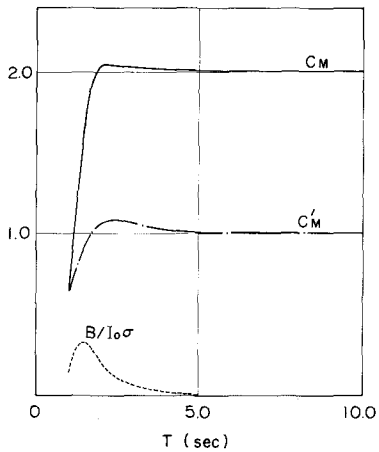


図-4 流体力係数

なく、それを直角方向に灯標が横流れする場合がみられた。横流れが激しいときには、波が未襲しはじめこれからは波面上は大きく横流れし、水路の側壁方向から測定した見掛けの振幅が小さくなることであった。そこで、記錄の最初の部分に現われる最大の搖れ角と、その後に現われる定常状態の搖れ角とを向かて比較することとした。図中の○印が前者、●が後者である。

さて、図-5の非線形力を考慮しないときの計算値は、共振実験付近では実験値に比べて過大となる(左), 二の周期帶では非線形減衰モードが大きな役割を果たしていることが推定される。

また、 C_D の値を変えて行なった結果を比較すると、 $C_D = 0.8$ 程度にするとき定常値とほぼ一致するようであり、実験時のレイノルズ数から推定される値とはほぼ等しい。なお、実験の対象として周期帶では、固定灯標に作用する波力モーメントは慣性力によるものか支配的であり、式(1)右辺の2項の抵抗力はほとんど無視できる。また、図-5中の×印は数値積分法による計算結果(ただし $C_D = 1.0$)を表わしたものであり、解説による結果と良く一致している。したがって、非線形減衰を含む運動方程式の解法として、数値積分法が有効であることがわかる。

4. 不規則波中の応答特性

4.1 理論計算法

前章で述べた規則波中にあける浮体式灯標の動揺を調べることは、本質的な要因について見極めやすいといふことが重要なことである。しかし、実際の海の波は波向、波高および周期が複雑に変化する不規則波であり、単純な規則波とはは到底異なる。したがって、不規則波中の灯標の応答は規則波中とは異なるものと推定されるので、より現地の波に近い不規則波中の応答についても検討しておく必要がある。ここでは、規則波中の応答計算用いた数値積分によるミュレーション法を、不規則波中の応答計算用にする所を示す。

いま、波高と周期は不規則に変化するが波向は一方向だけの不規則波を考える。不規則波の表示法としては、それがために独立した成分波の線形重ね合わせであると見て、次式を用いる。

$$S(t) = \sum_{j=1}^{\infty} S_j \cos(\phi_j t - \varepsilon_j) \quad (5)$$

ここで、 S : 時刻 t における $x=0$ の地点の水位、 S_j : 成分波の振幅、 ϕ_j : 成分波の固有周波数
 ε_j : 成分波の位相

また、成分波の振幅は次式によつて求められる。

$$S_j = \sqrt{2 \int_{f_1}^{f_2} S_j(f) df} \quad (6)$$

ただし、 f_1, f_2 は水位変動のスペクトルエネルギー $S_S(f)$ の分割周波数であり、各周期の持つエネルギーがほぼ等しくなるように定める。また、位相は $0 \sim 2\pi$ に一様に分布する乱数を用いる。

不規則波中の運動方程式は、規則波中の方程式(2)と同様の形となるが、右辺の慣性力と抵抗力は、各成分波による波力の和となる。また、不規則波の成分波の中には周期の短かいものも含まれるが、現地の波では、たゞえば2秒以下の周期を持つ成分波が持つているエネルギーは小なりとの考え方である。したがって、 3.1 項で述べたことから、不規則波中の灯標の応答計算においても、 $C_M = 2.0, C_D = 1.0, C_D = 1.0$ および $B = 0$ とし、

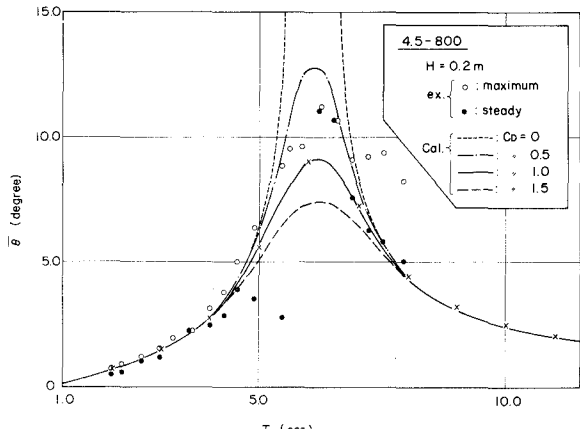


図-5 規則波中の周波数応答特性

また、水平水粒子加速度と慣性力との位相差を0とおいた。

4.2 水槽模型実験結果

水槽模型実験における水位変動および灯標に取付けた豆電球の水平変位が求められるので、これから水位変動と灯標の水平変位のスペクトルエネルギーが求められる。一方、このようにして得られた水位変動のスペクトルから前節で述べた方法によつて計算した灯標の水平変位を統計解すれば、水平変位のスペクトルの強調値を求めることができる。ここでは水位変動のスペクトルを50分割し、50個の成分波によるシミュレーションを行なった。計算時間は入射波の有義波周期の $\frac{1}{20}$ とし、計算の繰り返し数は5000とした。このうち初期の約1800ステップは灯標の動搖がまだ定常状態と見ていよいものとして捨て、残りの3072個のデータを用いられる。したがつて不規則波の平均周期を有義波周期の0.9倍と仮定すれば、シミュレーション波形に対する平均して約1/20波が含まれてゐることになる。著者の一人による数値実験によれば、この場合の波の統計量は有義波の波高と周期でそれらの値の約6%および4%，また最大波の波高と周期では約13%および10%の標準偏差をとる。

図-6はこのようにして求めた応答スペクトル

の計算結果の一例である。実験が測定值、実線が計算値である。図-6を含め

3種類の周期を持つ不規則波中の動搖の統計量を求めたのが表-2である。上に述べたことから最大波に対する値で誤差が大きいが、測定値と計算値がいずれのケースに対しても良く合つてあり、またスペクトル形状もほとど一致するところから、不規則波中の応答を求めるための手法として数値シミュレーション法が有用であると言える。

また、図-6のように、灯標の固有周期より離れた所にピークエネルギーを持つ不規則波中では山型の応答スペクトルとなり、したがつて表-2のように入射波と応答の有義波周期が大きく異なる場合があることなどから、不規則波中の灯標の動搖についても検討する必要があることがわかる。

4.3 現地実験結果

現地における波浪のほかに風および潮流などの影響を受ける。波浪による灯標の運動はほぼ往復運動であるのに対し、風や潮流は一定方向の力を灯標に加えるために、灯標はある方向に寄った動搖をすることがある。灯標の設計に際しては、当然のことながら風、潮流などの影響も考慮しなければならないが、本文では風浪のみを外的条件としている。島崎の動搖記録のうち中立点を中心にはほぼ往復運動をしていふと思われるものの一部を示すと右図のようになる。この図は方位を36等分し、灯標を上方から見た場合をとて、各時刻にその頂部がどの方位にあるかを振れ角度で

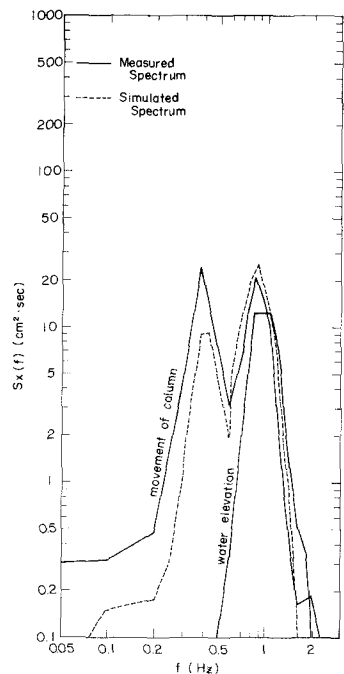


図-6 応答スペクトル

表-2 不規則波中の応答の統計量

| ケ イ ス | 区分 | 測 定 値 | | | | | 計 算 値 | | | | |
|-------------|------|---------------------|-------------------|--------------------|-------------------|---------------------|-------------------|--------------------|-------------------|--|--|
| | | H _{max} | T _{max} | H _{1/3} | T _{1/3} | H _{max} | T _{max} | H _{1/3} | T _{1/3} | | |
| 1 | 波形 H | 13.90 ^{cm} | 2.07 ^s | 8.70 ^{cm} | 1.89 ^s | 13.01 ^{cm} | 1.78 ^s | 8.78 ^{cm} | 1.94 ^s | | |
| | 変位 X | 59.85 | 2.16 | 45.02 | 2.15 | 51.30 | 2.09 | 41.19 | 2.19 | | |
| 2 | 波形 H | 9.99 | 1.39 | 7.49 | 1.47 | 12.16 | 1.71 | 7.81 | 1.47 | | |
| | 変位 X | 31.92 | 1.93 | 25.98 | 1.97 | 35.59 | 1.87 | 26.41 | 1.99 | | |
| 3 | 波形 H | 13.67 | 1.07 | 9.79 | 0.97 | 14.20 | 1.06 | 9.49 | 0.99 | | |
| | 変位 X | 17.19 | 1.40 | 12.07 | 1.54 | 18.37 | 1.21 | 12.55 | 1.22 | | |

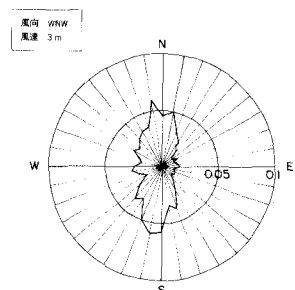


図-7 振れ角頻度分布

表わしたものである。現地の灯標は図-7で示されるようなく3次元的運動をするが、次のようにして近似的に2次元応答スペクトルを求めた。図-7を見るとわかるように、灯標はほぼ南北方向に動搖しているが、北側と南側では異なる主方向を持つことになる。これを北側では N 10° W、南側では S 10° W とし、このような向きを持つ面上へ灯標を投影し、傾れ角を求めた応答スペクトルを計算した。一方、同時に測定した水圧記録を水位に変換し、水位変動のスペクトルを求めれば 4.1 節により応答スペクトルが計算できる。ただし、水圧から水位への変換をすると短周期側で水圧記録のノイズが増幅され、誤差が大きくなるまでは計算に使えない。そこで、スペクトルのピークより高周波側では f^{-4} に比例して減少するものとしてスペクトル形を定めた。図-8 は以上のようにして求めた応答スペクトルの実測値と計算値、また表-3 はこれらの統計量である。なお、 C_D は 0.5 および 1.0 の種類とした。表-3 の中の計算値の上段は $C_D = 1.0$ 、下段は $C_D = 0.5$ としたときの値である。

図-8 および表-3 から、鳥ヶ崎模型では $C_D = 1.0$ とした方が実測値を良く説明できること、また灯標の動搖のスペクトルおよび統計量の計算値と実測値が良く合っているので、ここで用いた計算法は現地へも充分適用可能であることがわかる。

5. あとがき

本文では、直立式円筒形をした海上灯台の浮浪中動搖について理論的、実験的に検討し、規則波中および不規則波中の応答を計算することを示した。

ただし、扁平化係数のうち抗力係数をいくつにとるか、また潮流および風などの影響をどのように評価するかなど、今後検討しなければならない事項が多い。抗力係数は安全側とて 0.5 を用いること考えられるが、潮流および風などの影響については、実験的、理論的検討が必要になってくるものと想われる。

なお、本研究は、海上保安庁灯台部および海上保安技術研究センター、工事に鹿児島技術研究所海洋水文気象研究室の多くの人々の協協力の下に行なわれたものである。特に、研究所峰須賀和左教授による水理模型実験の実施およびそのデータ解析におりて多大の協協力を得た。これらの人々に深い感謝之意を表す次第である。

参考文献

- 1) 林 直樹: 海洋造波機器について、船舶機械技術委報, No. 13, 1974年3月, pp. 21~26.
- 2) 飯田良寛・鈴木康正・蜂須賀和左: 直立式円筒浮体の波浪中の動搖振幅に関する研究, 1978年12月 潮流技術研究所報告に発表の予定
- 3) S.モラニン: 工業振動学, 東京図書, 1956年, pp. 80~87.
- 4) Goda, Y.: Numerical experiments on statistical variability of ocean waves, Rept. Port and Harbour Res. Inst., Vol. 16, No. 2, June 1977, pp. 3~26.

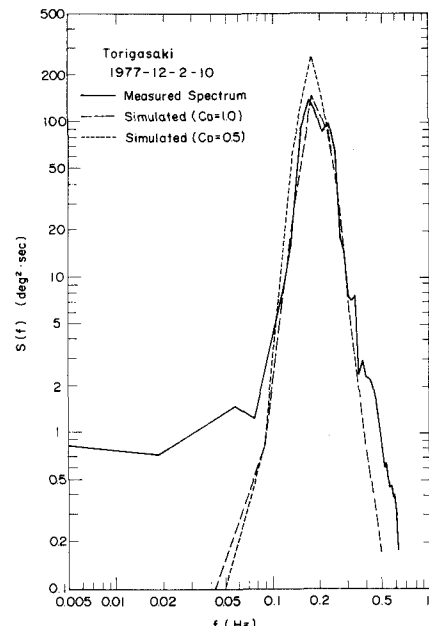


図-8 現地の応答スペクトル

表-3 現地実験結果の統計量

| 区 分 | 実測 値 | | | | 計算 値 | | | |
|--------|-------------------------------------|-----------------|---------------------------------------|---------------------|-------------------------------------|---------------------|---------------------------------------|------------------|
| | H _{m0} 2θ _{m0} | T _{m0} | H _{1/3} 2θ _{1/3} | T _{1/3} | H _{m0} 2θ _{m0} | T _{m0} | H _{1/3} 2θ _{1/3} | T _{1/3} |
| H | 0.479 m | 4.26 s | 0.292 m | 7.43 s | 0.447 m | 3.97 s | 0.352 m | 4.02 s |
| θ | 19.9° | 4.55 s | 13.9° 5.13 s | 18.3° 23.2° s | 5.01 m | 13.7° 17.4° s | 5.22 m | 5.37 s |